

Siège social

3600, boul Casavant Ouest Saint-Hyacinthe, Qc, J2S 8E3 Tel: (450) 773-1105

Fax: (450) 773-8461

Bureau de Québec

1665, boul Hamel edifice 2 Local 1.06 Québec, Qc, G1N 3Y7 Tel : (418) 643-8903

Fax: (418) 643-8350

# Rapport final

Identification de composés phénoliques majeurs présents dans les produits d'érable

> Dr. S. Kermasha, Département des sciences Par: de l'alimentation et de la chimie agricole

Publication no.: 300-FIN-05-95 St-Hyacinthe, Mai 1995 Le sirop d'érable est un des produits d'origine végétale les plus importants au Québec. Compte tenu de l'augmentation de la production des produits de l'érable, la connaissance des qualités nutritionnelles des constituants du sirop d'érable permettrait de le valoriser et d'avoir ainsi un impact considérable sur sa commercialisation. Selon certaines études, certains composes phénoliques présentent des qualités nutritionnelles très intéressantes. Or, la concentration de l'eau d'érable passe obligatoirement par un traitement thermique. Ceci provoque éventuellement une modification chimique des composés phénoliques considérés comme précurseurs des composés oxydés ou modifiés structurellement. La recherche de ces différents composés dans l'eau et le sirop d'érable s'avère donc commercialement nécessaire.



# Table des matières

Rappel des objectifs		•••••	1
Approche expérimentale			1
Chromatographie analytique			1
Extraction			1
Séparation chromatographique			1
Identification			
Purification des composés phénoliques présents dans les eaux d'érable			
Purification			2
Inconnus purifiés.		/	2
Identification		,/	2
Résultats			3
Effet de l'entreposage	/		3
Effet du pH			
Hydrolyses acides et basiques	/		4
Hydrolyses enzymatiques	/		4
, ,			
Conclusion	/ 		7
Bibliographie			7

# Identification de composés phénoliques majeurs présents dans les produits d'érable



# Rappel des objectifs

Le projet a pour objectif d'identifier les principaux composés phénoliques présents dans l'eau et le sirop d'érable.



## Approche expérimentale

#### Chromatographie analytique

L'analyse des composés phénoliques présents dans l'eau et les concentrés d'érable se fait comme suit d'après Kermasha et Coll. (1995).

#### Extraction

Le pH des échantillons (25 ml) est préalablement ajusté à 2,0 avec de l'acide chlorhydrique, 6N. Les composés phénoliques sont ensuite extraits dans une ampoule à décanter par addition successive de 60, 30 et 30 ml d'éthyle acétate. Les extraits sont combinés, puis évaporés à sec sous azote. Le résidu est alors redissous dans 1 ml de méthanol. Ainsi les échantillons sont concentrés 25 fois.

#### Séparation chromatographique

Elle consiste en une chromatographie liquide à haute-performance analytique sur phase inversée (RP-HPLC), utilisant un gradient de solvant, d'après une modification de la méthode décrite par Spanos et Wrolstad (1990). Le système HPLC est couplé à un détecteur UV, "diode Array" monté en série avec un détecteur électrochimique. La détection en UV se fait simultanément à 280 et 320 nm. Des spectres d'absorption ont aussi été enregistrés entre 190 et 390 nm pour tout le chromatogramme. La détection électrochimique se fait simultanément à 200 et 600 mV. La colonne utilisée est une colonne CSC-Inert I50A/ODS2 (250 x 4,6 mm, pore: 5μm), La phase mobile est constituée de 2% d'acétonitrile et de 98% de 0,05% d'acide trifluoroacétique. Le débit est de 0,75 ml/min. Après 5 min, un gradient linéaire (2% à 40% de A) d'une durée de.45 .minutes est amorcée. Le volume d'injection utilisé est de 20 μl.

#### Identification

L'analyse des composés phénoliques suivants est réalisée; acide p-coumarique (AC), férulique (AP), vanillique (AV), syringique (ASY), homovanillique (AH) et sinapinique (ASI), ainsi que le coniférylaldéhyde (CA), la vanilline (V), la syringaldéhyde (S), l'alcool coniférique (COH) et le 5-hydroxyméthyl-2-furaldéhyde (HMF).

#### Purification des composés phénoliques présents dans les eaux d'érable

L'extraction des composés phénoliques inconnus a été réalisée par l'ajustement du pH à 2,0, avec l'acide chlorhydrique, 6N. Les inconnus ainsi que les composés phénoliques sont ensuite extraits dans une ampoule à décanter par addition successive de 400, 300 et 300 ml d'éthyle acétate. Les extraits sont combinés, puis évaporés à sec sous azote. Le résidu est alors re-dissous dans 1 ml de méthanol. Ainsi les échantillons sont concentres 250 fois.

#### Purification

Elle consiste en une chromatographie liquide à haute-performance préparative sur phase inversée (RP-HPLC), utilisant un gradient de solvant, La colonne utilisée est une colonne Ultrasphere C-18 (150 x 21,2 mm, pore: 5μm). La phase mobile est constituée de 2% d'acétonitrile et de 98% de 0,05% d'acide trifluoroacétique, le débit est de 7,5 ml/min. Après 5 min, un gradient linéaire passant de 2% à 21% de A et d'une durée de 22,5 min est amorcée. Suivi d'un second gradient linéaire passant de 21% à 80% de A en 7,5 min. Le volume d'injection utilisé est de 90 μl.

#### Inconnus purifiés.

La vérification de la pureté des inconnus est accomplie par l'analyse chromatographique analytique tel que décrite précédemment, de chaque inconnu. Cette pureté peut aussi être confirmé par un analyse sur couche mince de chaque inconnu. Pour ce faire, le papier utilisé est constitué de cellulose MN300 (Whatman No. 1) et a comme phase mobile le η-butanol/acide acétique/eau (6: 1:2, v/v/v). La visualisation des composés présents se fait alors sans ou avec réactif sous visible et sous UV (Ribereau-Gayon, 1972). Ces réactifs sont les vapeurs d'ammoniaque, la ρ-nitroaniline (PNA) suivi de carbonate de sodium (PNACS), le chlorure d'aluminium (AlCI), la ninhydrin et l'aniline oxalate.

#### Identification

Afin de cerner leur composition chimique, les inconnus (100 ug) sont soumis à différents types d'hydrolyse telles que l'hydrolyse acide (Ribereau-Gayon, 1972) et basique (Krygier rf Coll., 1982) ainsi qu'à des hydrolyses enzymatiques (Belford ei Coll., 1992) par l'α-glucosidase, la β-glucosidase et l'hespéridinase. L'hydrolyse acide est réalisé en présence de HCI, 2N/ éthanol (1: 1, v/v) durant 250 min à 100 °C. L'hydrolyse basiques est faite en présence de NaOH, 4N durant 4 heures sous azote et à température de la pièce. Les hydrolyses enzymatiques impliquent l'utilisation de différents pH de tampon par contre la même température, de 40 °C, et le même temps, de 24 heures, d'incubation est utilisés dans le cas des trois enzymes. Ainsi, la concentration d'enzyme proposée pour l'α et la β -glucosidase est de 4U/ml, alors que pour l'hespéridinase elle est de 0,5 U/ml. Le pH des tampons est de 6.8, 5.0 et 3.8, respectivement. Dans chacun des cas précédents, les produits d'hydrolyse sont extraits en ré acidifiant la solution, si nécessaire, et par l'utilisation de l'éthyle acétate comme solvant. Une analyse sur couche mince des produits des hydrolyses acides et basiques est faite. Puis, une chromatographie analytique par HPLC des produits d'hydrolyse acide, basique et enzymatique ainsi que des spectres d'absorption entre 190 et 390 nm est accomplie pour chaque inconnu.

La chromatographie analytique par HPLC de chacun des inconnus (figure 1) montre que les différents inconnus, I1, I2, I3, I4 et I5 pré purifiés et ayant comme temps de rétention 7, 9, 17, 23 et 25 min, respectivement, contiennent d'autres composés et principalement les autres inconnus eux-mêmes. Ces résultats sont décrits dans le rapport précédent, datant du 7 février 1995. Cette analyse permet une première vérification de la pureté des inconnus obtenus par chromatographie préparative. Une deuxième vérification par chromatographie sur couche mince (tableau 1) confirme ces résultats. Des spectres d'absorption entre 190 et 390 nm ont été pris sur chacun de ces inconnus (figure 2) à des fins de comparaison. Les spectres d'absorption les plus spécifiques ont été obtenus pour les inconnus I3, I4 et I5 et ont comme absorbante ( $\lambda$ ) max. 197-235, 200-235-280-310 et 200-215-225-305, respectivement, Alors que les inconnus II et I2 ont comme  $\lambda$  max. 200 et 220, respectivement.

#### Effet de l'entreposage

Les effets de l'entreposage sur les inconnus II, I2, I3, I4 et I5 (tableau 2) semblent être différents d'un composé à l'autre.

**Tableau** 2: Effet de l'entreposage

${ m ID}^{ m a}$	Pics observés					
ID	Frais	Entreposé				
I1	I1, I3	I1, I3, 4				
I2	12, 12, 13	I1, I2, I3				
I3	I1, I3, 4	I1, I3, 4				
I4	I1, I4	I1, I3, I4, 5, 7				
I5	I1, I5	I1, I5				

<sup>&</sup>lt;sup>a</sup> Inconnu pré purifié

Ainsi les effets les plus significatifs sont observés pour Il et I4. L'observation du pic correspondant à Il dans tous les chromatogrammes des autres inconnus, suggère la présence de produits de dégradation dans chacun des inconnus à des concentrations variées.

#### Effet du pH

D'un autre côté, les résultats tendent à montrer que le pH (tableau 3) du tampon utilisé lors des hydrolyses enzymatiques (blanc contenant l'inconnu seulement), a aussi un effet sur la chromatographie des inconnus.

<sup>&</sup>lt;sup>b</sup> Pics observés lors de la chromatographie analytique par HPLC.

Tableau 3: Effet du pH.

${ m ID}^a$		Pics observés <sup>b</sup>						
	PH 6.8	PH 5.0	PH 3.8					
I1	I1, I3, 4	I1, I3, 4, 16	I1, I3, 4, 14, 16					
I2	I1, I2, I3	I1, I2, I3, 13, 15	I1, I2, I3, 16					
I3	I1, I3, 4, 9	I1, I3, 4, 16	I1, I3, 4, 16					
I4	I1, I3, I4, 4, 5, 7	I1, I3, I4, 4, 5, 7, 10, 16	I1, I3, I4, 4, 5, 7, 10, 16					
I5	I1, I5	I1, I5, 16	I1, I5, I4					

<sup>&</sup>lt;sup>a</sup> Inconnu pré purifié.

Le pic additionnel obtenu le plus fréquemment est le pic #4. Or, le pic #4 nous donne un spectre d'absorption contenant les  $\lambda$  max. suivant (tableau 2); 197, 204 et 281 nm. Le temps de rétention de ce pic est de 18 min et le temps de rétention du 5-hydroxyméthyl fufurale (HMF) est aussi de 18 min. Ainsi, le spectre d'absorption du HMF donne des  $\lambda$  max. de 197 et 283 nm. La similitude des spectres d'absorption obtenus pour le pic #4 es le HMF, nous suggère que le pic #4 est du HMF. Le HMF étant utilisé comme indicateur des altérations produit aux composés phénoliques en présence de sucre et ce parce qu'il est le produit final de la déshydratation des hexoses par catalyse acide (White, 1992), tous les pics mineurs formés durant l'entreposage ou par l'effet du pH ne seront pas considérés.

#### Hydrolyses acides et basiques

Les résultats obtenus par hydrolyse acide et basique des inconnus (tableau 1) suggèrent de par son profil de coloration que nous sommes en présence de composés phénoliques glycosilés. Ils semblent aussi que les inconnus I4 et I5 soient très proches. La chromatographie analytique par HPLC de ces produits d'hydrolyse montre également la production de plusieurs pics et donc de plusieurs composés phénoliques. Ces nombreux composés phénoliques proviennent-ils de l'hydrolyse des inconnus OU de leur oxydation ou de leur dégradation ou encore de la dégradation des produits d'hydrolyse eux-mêmes? Afin de mieux contrôler l'hydrolyse des inconnus, l'utilisation d'enzymes s'est avérée nécessaire (Belford et Coll., 1992). Les enzymes sélectionnés sont l'α-glucosidase, la β-glucosidase et l'hespéridinase en raison de leur activité hydrolytique spécifique.

#### **Hydrolyses enzymatiques**

Théoriquement, l'α-glucosidase agit sur des lien de type A:

HOCH<sub>2</sub> Type A NO<sub>2</sub>

$$OH$$

$$OH$$

$$OH$$

$$A-Nitrophenyl-\alpha-D-glucopyranoside$$

<sup>&</sup>lt;sup>b</sup> Pics observés lors de la chromatographie analytique par HPLC.

la β-glucosidase agit sur des liens de type B:

#### 4-Nitrophenyl-β-D-glucopyranoside

et l'hespéridinase agit sur des liens de type C:

Ainsi, les résultats du tableau 4 tendent à montrer que l' $\alpha$ - et la  $\beta$ -glucosidase ont une activité hydrolytique réduite sur les cinq inconnus. Dans le cas de l'hespéridinase, par contre, une activité hydrolytique significative est observée.

**Tableau 5**. Effet des hydrolyses enzymatiques

$ID^a$	Pics observés <sup>b</sup>					
ID	α- glucosidase	β- glucosidase	hesperidinase			
I1	I1, I3	I1, I3	I1, I3, 5, 11			
I2	I1, I2, I3	I1, I2, I3	I1, I2, I3, 5, 11, 15			
I3	I1, I3	I1, I3	I1, I3, 5, 11			
I4	I1, I4	I1, I4	I1, I4, 5, 10			
I5	I1, I5	I1, I5	I1, I5, 5, 10			

a Inconnu pré purifié

La figure 1 montre la chromatographie analytique par HPLC des cinq inconnus purifies sans puis avec hydrolyse par l'hespéridinase. La présence des inconnus II et I3 dans presque tous les chromatogrammes non hydrolysés nous pose un problème. Le problème étant d'assigner un ou plusieurs des pics produits à un ou des inconnus. Première observation, quatre pics sont produits par l'hydrolyse, deuxièmement, certains pics ne sont présents que pour un chromatogramme, par exemple 12, 14, 15. Par contre certains autres pics sont présents dans tous les chromatogrammes. Suite à ces observations, nous pouvons supposer que le pic produit par II est #5 (HI), 12 est #15 (H4), I3 est #11 (H3) puis I4-I5 est #10 (H2). Le tableau 6 donne les  $\lambda$  max. spécifiques des différentes classes de composés phénoliques ainsi que ceux obtenus pour les inconnus et leur produits d'hydrolyse par l'hespéridinase.

b Pics observés lors de la chromatographie analytique par HPLC.

**Tableau 6a**: Absorbante (λ) max. d'après Macheix CI Coll. (1990)

Classes	λ (nm)
Acides benzoïques	270-280
Acides hydroxycinnamiques	290-300, 305-330
Anthocyaniques (pigment)	270-280, 315-325, 500-550
Flavonols	250-270, 300, 350-380
Flavan-3-ols	270-280
Coumarins	220-230, 310-350
Flavones	250-270, 330-350
Flavanones, flavanonols	270-295, 300-330
Chalcones	220-271, 300, 340-390
Aurones	240-270, 370-430
Isoflavones	245-270, 300-340

**Tableau 6b:** λ max. des inconnus et des produits d'hydrolyse de l'hespéridinase.

$ID^a$	λ (nm)
I1	260
I2	260
I3	235
I4	235, 280, 310
I5	225, 305
H1 <sup>b</sup>	225, 283
H2 <sup>c</sup>	226, 280
H3 <sup>d</sup>	279
H4 <sup>e</sup>	282, 323

a Inconnu pré purifié.

Le temps de rétention du pic #15 et de l'acide o-coumarique est de 42 et 43 min, respectivement. Le spectre d'absorption du pic #15 donne des  $\lambda$  max. de 210, 282 et 323 nm alors que l'acide o-coumarique donne des  $\lambda$  max. de 226, 277 et 327 nm. La similitude des spectres d'absorption obtenus pour le pic #15 et l'acide o-coumarique nous suggère que le pic #15 pourrait être l'acide o-coumarique. Les résultats indiquent que l'hydrolyse des inconnus par l'hespéridinase supporte l'hypothèse voulant que ces cinq inconnus sont des composés phénoliques glycosilés. Le temps de rétention des pics #5, #10 et #11 ne correspond à aucun des 49 standards présents dans le laboratoire. Nous pouvons, cependant, comparer les spectres d'absorption obtenus pour chacun des produits d'hydrolyse à ceux obtenus pour les différentes classes de composé phénolique. Ainsi, la comparaison des spectres d'absorption obtenus pour les pics #5, #10 et #11 aux spectres d'absorption spécifiques décrits ci-dessus, nous suggère que les pics #5, #10 et #11. sont des acides benzoïques.

b Produit d'hydrolyse par Phespéridinase de II.

c Produit d'hydrolyse par l'hespéridinase de 14 et 15.

d Produit d'hydrolyse par I'hespéridinase de 13.

e Produit d'hydrolyse par I'hespéridinase de 12.



## Conclusion

Les résultats obtenus au cours de cette étude montrent que les pics inconnus I1, I2, I3. I4 et I5 présentent des caractéristiques spécifiques. Ces composés sont en particulier hydrolysables par l'hespéridinase, enzyme spécifique des composés phénoliques glycosylés. L'analyse par chromatographie en phase gazeuse couplée à la spectroscopie de masse (GUMS) des inconnus et des produits de l'hydrolyse enzymatique est nécessaire afin de permettre l'identification finale de ces composés de l'eau d'érable.



# **Bibliographie**

Belford, A.L. et Lindsay, R.C. (1992). Bound vanillin in maple sap. Fkwor Frugr. J. 7, 9-13
Kermasha, S., Goetghebeur, M. et Dumont, J. (1995). Determination of phenolic compound profiles in maple products by high-performance liquid chromatography. J. Agric. Food Chem. 43, 708-716.
Ktygier, K., Sosulski, F. et Hogge, L. (1982). Free, Esterified, and insoluble-bound phenolic acids. 1. Extraction and purification procedure. J. Agric. FoodChem. 30, 330-334.
Ribereau-Gayon, P. (1972). Dans "Plmt Phettolics", Hafner Publishing Company, NY, pp.54-105.
White, J.W. (1992). Quality evaluation of honey: Role of HMF and diastase assays. Atm Bee J. 132, 792-794.

Tableau 1a: Hydrolyse acide et basique de l'inconnu I1.

Révélateur	Hydrolyse		N	on	Ac	Basique		
	Visualisation	Tache # 1	Tache # 2	Tache # 3	Tache # 4	Tache #1	Tache # 2	Tache # 1
Sans réactif	Ultraviolet	Pas de tache	Ombre verte	Vert jaune	Pas de tache	Pas de tache	Pas de tache	Pas de tache
Ammoniaque	Ultraviolet	Pas de tache	Vert clair	Vert clair	Pas de tache	Ombre verte	Pas de tache	Jaune
PNA	Visible	Pas de tache	Orange	Pas de tache				
PNA	Ultraviolet	Pas de tache	Jaune	Pas de tache				
PNACS	Ultraviolet	Pas de tache	Jaune	Pas de tache				
AlCl	Ultraviolet	Vert clair	Pas de tache					
Ninhydrin	Ultraviolet	Pas de tache	Vert clair	Pas de tache				
Aniline	Ultraviolet	Pas de tache	Pas de tache	Pas de tache	Jaune	Pas de tache	Jaune	Pas de tache
•	Rf	0.71	0.60	0.45	0.15	0.60	0.15	0.60

Tableau 1b: Hydrolyse acide et basique de l'inconnu I2.

Révélateur	Hydrolyse	N	on		Acide	Basique		
Revelateur	Visualisation	Tache # 1	Tache # 2	Tache # 1	Tache # 2	Tache #3	Tache # 1	Tache # 2
Sans réactif	Ultraviolet	Ombre verte	Ombre verte	Pas de tache	Ombre verte	Pas de tache	Ombre verte	Pas de tache
Ammoniaque	Ultraviolet	Vert clair	Vert clair	Vert clair	Pas de tache	Pas de tache	Vert jaune	Pas de tache
PNA	Visible	Pas de tache	Orange	Pas de tache				
PNA	Ultraviolet	Ombre verte	Jaune	Pas de tache	Ombre verte	Pas de tache	Ombre verte	Pas de tache
PNACS	Ultraviolet	Ombre verte	Jaune	Pas de tache	Ombre verte	Pas de tache	Ombre verte	Pas de tache
AlCl	Ultraviolet	Ombre verte	Ombre verte	Vert clair	Pas de tache	Pas de tache	Ombre verte	Pas de tache
Ninhydrin	Ultraviolet	Pas de tache	Vert clair	Pas de tache	Pas de tache	Pas de tache	Pas de tache	Vert clair
Aniline	Ultraviolet	Ombre verte	Pas de tache	Jaune	Ombre verte	Jaune	Pas de tache	Pas de tache
	Rf	0.76	0.60	0.85	0.74	0.15	0.74	0.24

Tableau 1c: Hydrolyse acide et basique de l'inconnu I3.

Révélateur	Hydrolyse	N	on	Acide	Basique
Revelateur	Visualisation	Tache # 1	Tache # 2	Tache # 1	Tache # 1
Sans réactif	Ultraviolet	Pas de tache	Ombre verte	Pas de tache	Vert
Ammoniaque	Ultraviolet	Vert clair	Vert clair	Pas de tache	Ombre verte
PNA	Visible	Pas de tache	Orange	Pas de tache	Pas de tache
PNA	Ultraviolet	Pas de tache	Jaune	Pas de tache	Pas de tache
PNACS	Ultraviolet	Pas de tache	Jaune	Pas de tache	Pas de tache
AlCl	Ultraviolet	Pas de tache	Ombre verte	Pas de tache	Ombre verte
Ninhydrin	Ultraviolet	Pas de tache	Vert clair	Pas de tache	Pas de tache
Aniline	Ultraviolet	Pas de tache	Pas de tache	Pas de tache	Jaune
	Rf	0.71	0.65	0.00	0.10

Tableau 1d: Hydrolyse acide et basique de l'inconnu I4.

Tubiena Tari Tijareijse aetae e									
Révélateur Hydrolyse Non				Acide		Basique			
Revelateur	Visualisation	Tache 1	Tache 1	Tache 2	Tache 3	Tache 1	Tache 2	Tache 3	Tache 4
Sans réactif	UV	Pas de tache	Pas de tache	Pas de tache	Ombre verte	Vert clair	Ombre verte	Jaune	Ombre verte
Ammoniaque	Visible	Pas de tache	Pas de tache	Pas de tache	Jaune	Pas de tache	Pas de tache	Ombre verte	Jaune
Ammoniaque	UV	Pas de tache	Vert clair	Vert	Ombre verte	Vert clair	Ombre verte	Vert clair	Ombre verte
PNA	Visible	Pas de tache	Pas de tache	Pas de tache	Pas de tache	Pas de tache	Pas de tache	Pas de tache	Blanc
PNA	UV	Pas de tache	Pas de tache	Pas de tache	Ombre verte	Jaune	Ombre verte	Pas de tache	Ombre verte
PNACS	UV	Vert fluo	Vert clair	Pas de tache	Ombre verte	Jaune	Ombre verte	Pas de tache	Ombre verte
AlCl	UV	Pas de tache	Pas de tache	Pas de tache	Vert clair	Vert clair	Ombre verte	Pas de tache	Ombre verte
Ninhydrin	UV	Pas de tache	Pas de tache	Pas de tache	Ombre verte	Fluo	Ombre verte	Pas de tache	Ombre verte
Aniline	UV	Pas de tache	Jaune	Pas de tache	Jaune	Ombre verte	Pas de tache	Pas de tache	Ombre verte
	Rf	0.64	0.83	0.56	0.12	0.45	0.32	0.12	0.05

**Tableau 1e**: Hydrolyse acide et basique de l'inconnu I5.

Tubicular 10: 11) droij be detae et odbiejde de 1 interinte 15:									
Révélateur	Hydrolyse	No	on	on Aci		Basique			
Revelateur	Visualisation	Tache # 1	Tache # 2	Tache # 1	Tache # 2	Tache #1			
Sans réactif	Ultraviolet	Pas de tache	Pas de tache	Pas de tache	Vert	Ombre verte			
Ammoniaque	Ultraviolet	Vert clair	Pas de tache	Pas de tache	Vert	Ombre verte			
PNA	Ultraviolet	Pas de tache	Pas de tache	Vert clair	Vert clair	Pas de tache			
PNACS	Ultraviolet	Pas de tache	Pas de tache	Vert clair	Vert clair	Pas de tache			
AlCl	Ultraviolet	Pas de tache	Pas de tache	Pas de tache	Vert clair	Pas de tache			
Ninhydrin	Ultraviolet	Pas de tache	Vert clair	Pas de tache	Pas de tache	Pas de tache			
Aniline	Ultraviolet	Pas de tache	Pas de tache	Jaune	Jaune	Pas de tache			
	Rf	0.60	0.08	0.80	0.08	0.05			

**Tableau 4a** Hydrolyse enzymatique de l'inconnu I1.

Tableau 4a H	y <b>u</b> rory o	e enzy	matique a	e i meomia	$EC^b$				
			Hauteur (µm)		Absorbance (nm)		ır (µm)		
ID	Pic#	TR <sup>c</sup>	280 nm	320 nm		200 mV	600 mV		
I1	1	6	2.9	4.2	200, 260	18.3	116.2		
Entreposé	1	7	$NP^d$	$NP^d$	199	16.3	56.5		
	3	17	$NP^d$	$NP^d$	199, 234	NP <sup>d</sup>	OS <sup>e</sup>		
	4	18	7.4	$NP^d$	197, 204, 281	NP <sup>d</sup>	NP <sup>d</sup>		
PH 6.8	1	7	$NP^d$	NP <sup>d</sup>	213	11.2	56.7		
	3	16	$NP^d$	NP <sup>d</sup>	197, 207, 231	NP <sup>d</sup>	OS <sup>e</sup>		
	4	17	2.3	$NP^d$	197, 277	NP <sup>d</sup>	NP <sup>d</sup>		
α- glucosidase	1	7	$NP^d$	NP <sup>d</sup>		12.0	56.3		
	3	17	$NP^d$	NP <sup>d</sup>		$NP^d$	OS <sup>e</sup>		
	4	18	5.7	$NP^d$	/	NP <sup>d</sup>	NP <sup>d</sup>		
	14	42	2.6	4.0	/	98.0	21.0		
PH 5.0	1	7	$NP^d$	$NP^d$	216	14.1	56.5		
	3	17	$NP^d$	NP <sup>d</sup>	197, 208, 233	$NP^d$	OS <sup>e</sup>		
	4	18	7.1	$NP^d$	195, 278	NP <sup>d</sup>	NP <sup>d</sup>		
	16	43	3.7	$NP^d$	201, 231, 273	NP <sup>d</sup>	NP <sup>d</sup>		
β–glucosidase	1	7	$NP^d$	$NP^d$	214	12.4	56.5		
	3	16	$NP^d$	$NP^d$	197, 232	$NP^d$	$OS^e$		
	4	17	7.2	$NP^d$	197, 278	NP <sup>d</sup>	NP <sup>d</sup>		
PH 3.8	1	7	$NP^d$	$NP^d$	195	4.7	28.2		
	3	18	$NP^d$	NP <sup>d</sup>	195, 209, 234	NP <sup>d</sup>	OS <sup>e</sup>		
	4	19	7.2	NP <sup>d</sup>	195, 209, 280	$NP^d$	NP <sup>d</sup>		
	14	42	5.5	6.7	197, 253	188.4	35.2		
	16	45	3.4	1.0	197, 226, 267	NP <sup>d</sup>	49.3		
Hespéridinase	1	7	NP <sup>d</sup>	$NP^d$	195	7.0	23.1		
	3	18	$NP^d$	NP <sup>d</sup>	195, 206	$NP^d$	261.5		
	4	19	16.4	$NP^d$	195, 207, 278	$NP^d$	$NP^d$		
	5	20	337.1	15.9	195, 225, 283	NP <sup>d</sup>	NP <sup>d</sup>		
	11	32	283.0	5.8	197, 226, 280	10.8	$NP^d$		
	15	42	13.8	2.7					
<sup>a</sup> UV : Détection	n en ult	raviole	et		<sup>d</sup> NP : Pic absent	-			
<sup>b</sup> EC : Détection					<sup>e</sup> OS: Pic au dessus des limite	S			
<sup>c</sup> TR : Temps do	e rétenti	on (m	in)	7	<sup>f</sup> NR : Non retrouvable				

**Tableau 4b** Hydrolyse enzymatique de l'inconnu I2.

Tableau 4b H	y wirely b	<u>C CILE</u>	induique d		$EC^{b}$		
			Hauteur (µm)		Absorbance (nm)	Hauteur (µm)	
ID	Pic #	TR <sup>c</sup>	280 nm	320 nm		200 mV	600 mV
I2	2	10	21.9	1.1	220	NP <sup>d</sup>	NP <sup>d</sup>
Entreposé	1	7	$NP^d$	$NP^d$	214	10.5	44.2
_	2	9	15.5	NP <sup>d</sup>	211	NP <sup>d</sup>	NP <sup>d</sup>
	3	17	$NP^d$	NP <sup>d</sup>	195, 231	NP <sup>d</sup>	OS <sup>e</sup>
PH 6.8	1	7	$NP^d$	$NP^d$	213	11.9	54.9
	2	9	7.1	$NP^d$	209	NP <sup>d</sup>	NP <sup>d</sup>
	3	17	$NP^d$	$NP^d$	197, 235	NP <sup>d</sup>	104.6
α- glucosidase	1	7	$NP^d$	$NP^d$	214	13.2	66.2
	2	9	10.0	$NP^d$	211	NP <sup>d</sup>	NP <sup>d</sup>
	3	17	$NP^d$	$NP^d$	197, 243	NP <sup>d</sup>	71.3
PH 5.0	1	7	$NP^d$	$NP^d$	195, 207	10.5	59.6
	2	9	10.3	$NP^d$	209	NP <sup>d</sup>	NP <sup>d</sup>
	3	17	$NP^d$	NP <sup>d</sup>	197, 237	NP <sup>d</sup>	1137.6
	13	40	4.8	1.0	201, 275	NP <sup>d</sup>	73.4
	15	42	2.2	NP <sup>d</sup>	201, 264	NP <sup>d</sup>	NP <sup>d</sup>
β–glucosidase	1	7	$NP^d$	NP <sup>d</sup>	NR <sup>f</sup>	14.0	61.5
	2	9	7.9	$NP^d$	NR <sup>f</sup>	NP <sup>d</sup>	NP <sup>d</sup>
	3	17	$NP^d$	$NP^d$	NR <sup>f</sup>	NP <sup>d</sup>	654.5
	15	43	3.4	0.6	NR <sup>f</sup>	NP <sup>d</sup>	47.6
PH 3.8	1	7	$NP^d$	NP <sup>d</sup>	195	8.6	33.9
	2	11	8.9	NP <sup>d</sup>	209	NP <sup>d</sup>	NP <sup>d</sup>
	3	18	$NP^d$	NP <sup>d</sup>	193, 209, 238	NP <sup>d</sup>	833.9
	16	44	8.0	1.0	197, 227, 271	NP <sup>d</sup>	13.6
Hespéridinase	1	7	$NP^d$	NP <sup>d</sup>	195	9.1	25.4
	3	18	$NP^d$	NP <sup>d</sup>	194, 208	NP <sup>d</sup>	76.3
	5	19	378.6	12.9	195, 226, 283	NP <sup>d</sup>	NP <sup>d</sup>
	11	32	119.8	3.7	195, 225, 280	5.5	NP <sup>d</sup>
	12	38	21.4	3.7	197, 284	137.0	67.8
	13	40	25.7	6.0	197, 223, 280	NP <sup>d</sup>	355.9
	15	42	577.5	106.9	210, 282, 323	38.4	OS <sup>e</sup>
	17	48	12.8	2.3	197, 276	NP <sup>d</sup>	NP <sup>d</sup>
	19	51	4.3	6.0	197, 252, 366	158.9	220.3
<sup>a</sup> UV : Détectio	n en ult	raviole	et		<sup>d</sup> NP : Pic absent		
<sup>b</sup> EC : Détection	n en éle	ctroch	imie		<sup>e</sup> OS : Pic au dessus des limites		
<sup>c</sup> TR : Temps do	e rétenti	ion (m	in)		<sup>f</sup> NR : Non retrouvable		

**Tableau 4c** Hydrolyse enzymatique de l'inconnu I3.

Tableau 4C 11	<u>j ur orjo</u>	<u> </u>	inacio a	• I III• oIIII	$EC^b$		
			Hauteur (µm)		Absorbance (nm)	Hauteur (µm)	
ID	Pic #	TR <sup>c</sup>	280 nm	320 nm		200 mV	600 mV
I3	3	17	$NP^d$	$NP^d$	197, 235	NP <sup>d</sup>	738.6
Entreposé	1	7	$NP^d$	$NP^d$	195, 208	7.9	28.2
	3	16	NP <sup>d</sup>	$NP^d$	197, 232	NP <sup>d</sup>	OS <sup>e</sup>
	4	17	1.5	$NP^d$	197, 271	$NP^d$	$NP^d$
PH 6.8	1	7	$NP^d$	NP <sup>d</sup>	195, 207	8.8	40.5
	3	16	$NP^d$	$NP^d$	197, 237	NP <sup>d</sup>	1450.9
	4	17	1.8	$NP^d$	197, 279	NP <sup>d</sup>	NP <sup>d</sup>
	9	26	2.5	5.4	199, 251, 310	NP <sup>d</sup>	NP <sup>d</sup>
α- glucosidase	1	7	NP <sup>d</sup>	NP <sup>d</sup>	216	13.0	50.0
	3	16	$NP^d$	$NP^d$	197, 232	NP <sup>d</sup>	1543.8
	4	17	1.9	$NP^d$	197, 277	NP <sup>d</sup>	NP <sup>d</sup>
	14	40	4.4	6.7	201, 253	161.6	43.8
PH 5.0	1	7	$NP^d$	NP <sup>d</sup>	227	14.4	69.8
	3	17	$NP^d$	$NP^d$	234	NP <sup>d</sup>	1430.2
	4	18	2.1	$NP^d$	231, 272	NP <sup>d</sup>	NP <sup>d</sup>
	16	43	1.7	1.0	201, 268	$NP^d$	23.3
β–glucosidase	1	7	$NP^d$	$NP^d$	225	10.6	48.6
	3	17	$NP^d$	$NP^d$	229	8.3	OS <sup>e</sup>
	4	18	2.2	$NP^d$	224, 276	$NP^d$	$NP^d$
	13	41	7.2	1.3	201, 272	$NP^d$	97.2
PH 3.8	1	7	$NP^d$	NP <sup>d</sup>	193, 209	NR <sup>f</sup>	32.4
	3	17	$NP^d$	$NP^d$	193, 211	NR <sup>f</sup>	673.0
	4	18	2.4	NP <sup>d</sup>	278	NR <sup>f</sup>	NP <sup>d</sup>
	16	44	5.2	1.0	197, 227, 270	NR <sup>f</sup>	5.4
Hespéridinase	1	7	$NP^d$	NP <sup>d</sup>	193, 207	11.5	28.9
	3	17	$NP^{d}$	$NP^d$	193, 209	NP <sup>d</sup>	220.2
	4	18	5.3	0.6	193, 211, 274	NP <sup>d</sup>	NP <sup>d</sup>
	5	19	160.0	7.8	193, 223, 283	NP <sup>d</sup>	NP <sup>d</sup>
	11	32	99.0	2.4	195, 280	15.4	NP <sup>d</sup>
	16	44	8.0	$NP^d$	197, 227, 268	NP <sup>d</sup>	4.4
	18	48	2.0	2.9	197, 246	NP <sup>d</sup>	NP <sup>d</sup>
<sup>a</sup> UV : Détectio	n en ult	raviole	et		<sup>d</sup> NP : Pic absent		
<sup>b</sup> EC : Détection	n en éle	ctrochi	imie		<sup>e</sup> OS : Pic au dessus des limites		
<sup>c</sup> TR : Temps do	e rétenti	on (m	in)		<sup>f</sup> NR : Non retrouvable		

**Tableau 4d** Hydrolyse enzymatique de l'inconnu I4.

1 ableau 4d F					$\mathrm{UV}^{\mathrm{a}}$	E	$C_p$
			Hauteur (µm)		Absorbance (nm)	Hauteur (µm)	
ID	Pic#	TR <sup>c</sup>	280 nm	320 nm		200 mV	600 mV
I4	6	23	12.9	11.9	200, 235, 280, 310	$NP^d$	431.5
Entreposé	1	7	$NP^d$	NP <sup>d</sup>	195, 211	9.1	41.0
	3	17	$NP^d$	NP <sup>d</sup>	197	$NP^d$	84.6
	4	18	24.7	0.5	197, 282	$NP^d$	NP <sup>d</sup>
	6	23	16.7	11.0	199, 229, 276, 307	8.0	635.9
	7	25	2.4	NP <sup>d</sup>	199, 279	$NP^{d}$	$NP^d$
PH 6.8	1	7	$NP^d$	NP <sup>d</sup>	191, 215	12.0	54.3
	3	16	$NP^d$	NP <sup>d</sup>	197	$NP^d$	382.7
	4	17	2.0	NP <sup>d</sup>	197, 270	$NP^d$	NP <sup>d</sup>
	5	18	13.5	0.6	197, 281	$NP^d$	$NP^d$
	6	23	14.6	10.3	199, 229, 275, 306	$NP^d$	614.8
	7	25	2.2	NP <sup>d</sup>	199, 281	$NP^d$	NP <sup>d</sup>
α- glucosidase	1	7	$NP^d$	NP <sup>d</sup>	216	7.3	24.4
	3	16	NP <sup>d</sup>	NP <sup>d</sup>	197	$NP^d$	319.5
	4	17	2.3	NP <sup>d</sup>	197, 277	NP <sup>d</sup>	NP <sup>d</sup>
	5	18	10.9	$NP^d$	197, 281	NP <sup>d</sup>	NP <sup>d</sup>
	6	24	14.9	8.1	199, 232, 274, 305	$NP^d$	604.8
	7	25	1.9	NP <sup>d</sup>	199, 279	$NP^d$	NP <sup>d</sup>
PH 5.0	1	7	NP <sup>d</sup>	NP <sup>d</sup>	220	12.2	53.7
	3	17	NP <sup>d</sup>	$NP^d$	193, 211	NP <sup>d</sup>	611.2
	4	18	2.7	$NP^d$	193, 210, 272	NP <sup>d</sup>	NP <sup>d</sup>
	5	19	13.8	NP <sup>d</sup>	195, 207, 282	$NP^d$	NP <sup>d</sup>
	6	24	15.1	11.2	197, 225, 274, 304	NP <sup>d</sup>	137.0
	7	25	1.6	NP <sup>d</sup>	197, 272	$NP^d$	NP <sup>d</sup>
	10	30	2.1	NP <sup>d</sup>	197, 270	NP <sup>d</sup>	NP <sup>d</sup>
	16	43	4.3	NP <sup>d</sup>	197, 225, 272	$NP^d$	NP <sup>d</sup>
β–glucosidase	1	7	NP <sup>d</sup>	NP <sup>d</sup>	NRf	7.1	54.1
1 0	3	17	$NP^d$	NP <sup>d</sup>	NR <sup>f</sup>	$NP^d$	221.6
	4	18	3.0	NP <sup>d</sup>	NR <sup>f</sup>	$NP^d$	NP <sup>d</sup>
	5	19	13.3	NP <sup>d</sup>	NR <sup>f</sup>	NP <sup>d</sup>	NP <sup>d</sup>
	6	24	16.1	12.2	NR <sup>f</sup>	NP <sup>d</sup>	678.4
	7	25	2.2	NP <sup>d</sup>	NR <sup>f</sup>	NP <sup>d</sup>	NP <sup>d</sup>
	10	30	2.1	NP <sup>d</sup>	NR <sup>f</sup>	NP <sup>d</sup>	NP <sup>d</sup>
	16	43	4.1	NP <sup>d</sup>	NR <sup>f</sup>	NP <sup>d</sup>	NP <sup>d</sup>
PH 3.8	1	7	NP <sup>d</sup>	NP <sup>d</sup>	215	11.2	32.0
	3	17	NP <sup>d</sup>	NP <sup>d</sup>	193, 212	NP <sup>d</sup>	170.7
	4	18	3.2	NP <sup>d</sup>	193, 214, 279	NP <sup>d</sup>	NP <sup>d</sup>
	5	19	10.0	NP <sup>d</sup>	193, 214, 281	NP <sup>d</sup>	666.7
	6	24	16.8	12.8	195, 208, 227, 276, 305	NP <sup>d</sup>	NP <sup>d</sup>
	7	25	1.9	NP <sup>d</sup>	195, 207, 280	NP <sup>d</sup>	NP <sup>d</sup>
	10	30	4.5	NP <sup>d</sup>	197, 280	NP <sup>d</sup>	NP <sup>d</sup>
	16	44	1.8	NP <sup>d</sup>	197, 226, 272	NP <sup>d</sup>	NP <sup>d</sup>
Hespéridinase	1	7	NP <sup>d</sup>	NP <sup>d</sup>	191, 215	11.3	25.0
Тезренатизе	5	19	376.9	12.5	195, 227, 283	NP <sup>d</sup>	NP <sup>d</sup>
	6	24	17.9	9.3	195, 207, 226, 277	NP <sup>d</sup>	561.4
	10	30	700	15.5	197, 228, 280	NP <sup>d</sup>	NP <sup>d</sup>
<sup>a</sup> UV : Détection en ultraviolet					dNP : Pic absent   NP   NP   NP		
EC : Détection			Α		OS : Pic au dessus des limites		
TR : Temps de					<sup>f</sup> NR : Non retrouvable		
ik. remps de	retention	ı (111111)			ING. INOH TEHOUVADIE		

**Tableau 4e** Hydrolyse enzymatique de l'inconnu I5.

Tableau 4c 11	<i>y y</i>				$EC^b$		
			Hauteur (µm)		Absorbance (nm)	Hauteur (µm)	
ID	Pic#	TR <sup>c</sup>	280 nm	320 nm		200 mV	600 mV
I5	8	25	21.5	29.9	200, 215, 225, 305	19.2	76.3
Entreposé	1	7	$NP^d$	NP <sup>d</sup>	215	11.1	42.6
	8	25	39.5	46.1	199, 232, 303	33.3	1922.0
PH 6.8	1	7	$NP^d$	$NP^d$	213	12.5	53.6
	8	25	32.7	37.5	199, 232, 301	27.2	422.6
α- glucosidase	1	7	$NP^d$	NP <sup>d</sup>	213	12.4	47.4
	8	25	29.8	37.7	199, 232, 302	25.3	1410.5
PH 5.0	1	7	$NP^d$	$NP^d$	193, 207	15.5	35.3
	8	25	37.0	41.1	197, 229, 302	40.0	1611.8
	16	43	3.5	$NP^d$	198, 224, 276	NP <sup>d</sup>	NP <sup>d</sup>
β–glucosidase	1	7	$NP^d$	NP <sup>d</sup>	194, 209	16.1	70.9
	8	25	40.3	48.5	197, 231, 303	42.0	1943.2
	16	43	2.9	NP <sup>d</sup>	197, 229, 271	NP <sup>d</sup>	NP <sup>d</sup>
PH 3.8	1	7	$NP^d$	NP <sup>d</sup>	193	NR <sup>e</sup>	42.3
	8	25	34.3	40.5	197, 229, 302	31.0	1915.5
	14	41	1.7	2	197, 250	65.9	NP <sup>d</sup>
Hespéridinase	1	7	$NP^d$	NP <sup>d</sup>	195	12.1	38.9
	5	19	223.7	7.4	197, 224, 283	$NP^d$	NP <sup>d</sup>
	8	25	28.9	36.6	197, 232, 297	25.3	1500.0
	10	31	721.1	14.5	197, 227, 280	NP <sup>d</sup>	NP <sup>d</sup>
	12	37	$NP^d$	2.6	197, 280	103.3	33.3
	14	41	$NP^d$	2.1	197, 251	74.7	222
	19	51	$NP^d$	1.7	197, 251	50.5	38.9
<sup>a</sup> UV : Détection en ultraviolet					<sup>d</sup> NP : Pic absent		
<sup>b</sup> EC : Détection	n en éle	ctrochi	imie		<sup>e</sup> OS : Pic au dessus des limites		
<sup>c</sup> TR : Temps do	e rétenti	on (m	in)		<sup>f</sup> NR : Non retrouvable		

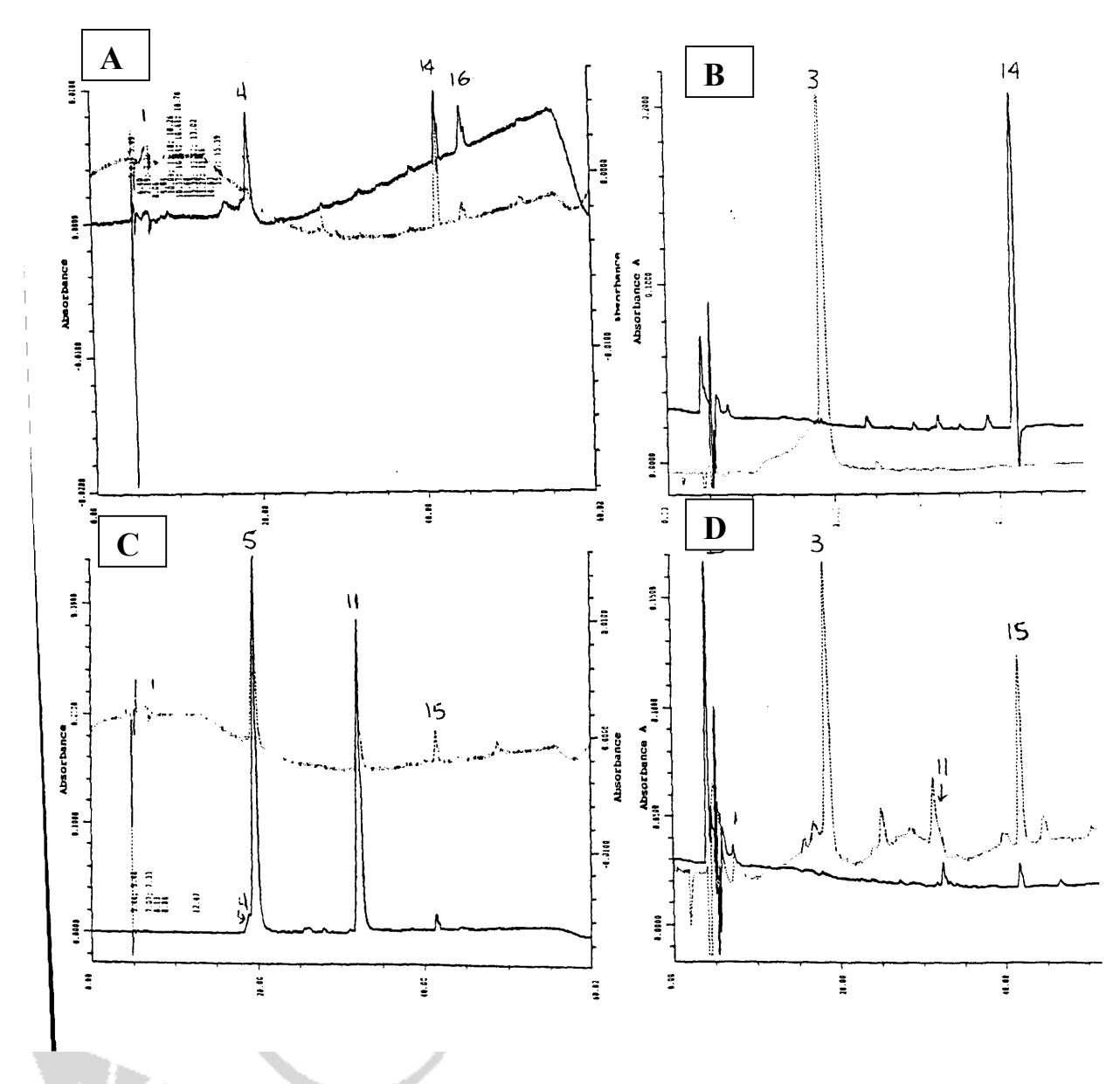


Figure 1a Chromatographie analytique par HPLC des produits d'hydrolyse de l'hespéridinase de I1. Le blanc utilisant (A) une détection ultraviolet à 280 (——) et 320 nm (----) puis (B) une détection électrochimique à 200 (——) et 600 mV (-----). L'échantillon hydrolysé utilisant (C) une détection ultraviolet à 280 (——) et 320 nm (-----) puis (D) une détection électrochimique à 200 (——) et 600 mV (-----).

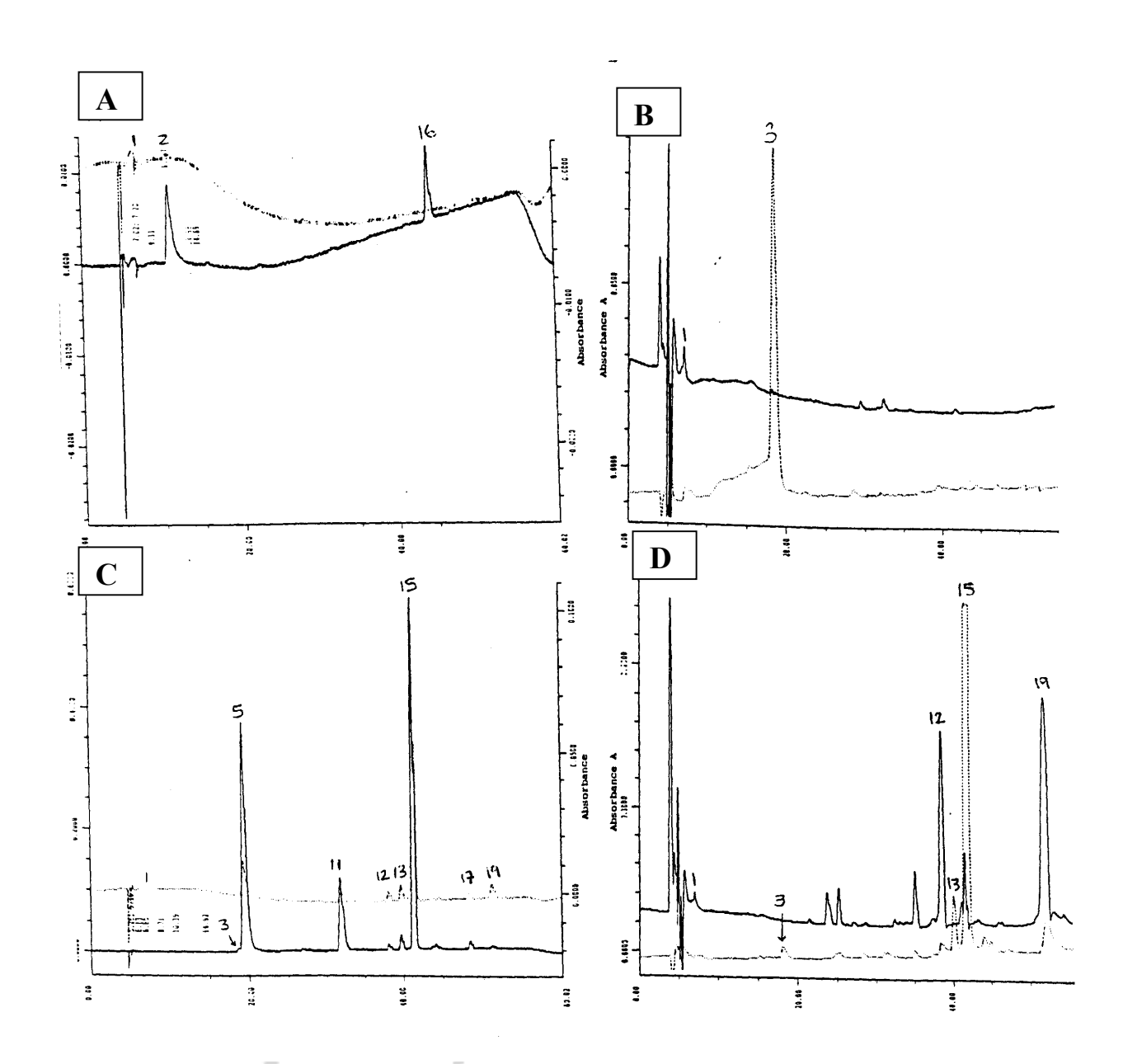


Figure 1b Chromatographie analytique par HPLC des produits d'hydrolyse de l'hespéridinase de I2. Le blanc utilisant (A) une détection ultraviolet à 280 (——) et 320 nm ( ---- ) puis (B) une détection électrochimique à 200 ( ——) et 600 mV (-----). L'échantillon hydrolysé utilisant (C) une détection ultraviolet à 280 ( ——) et 320 nm (-----) puis (D) une détection électrochimique à 200 ( ——) et 600 mV (------).

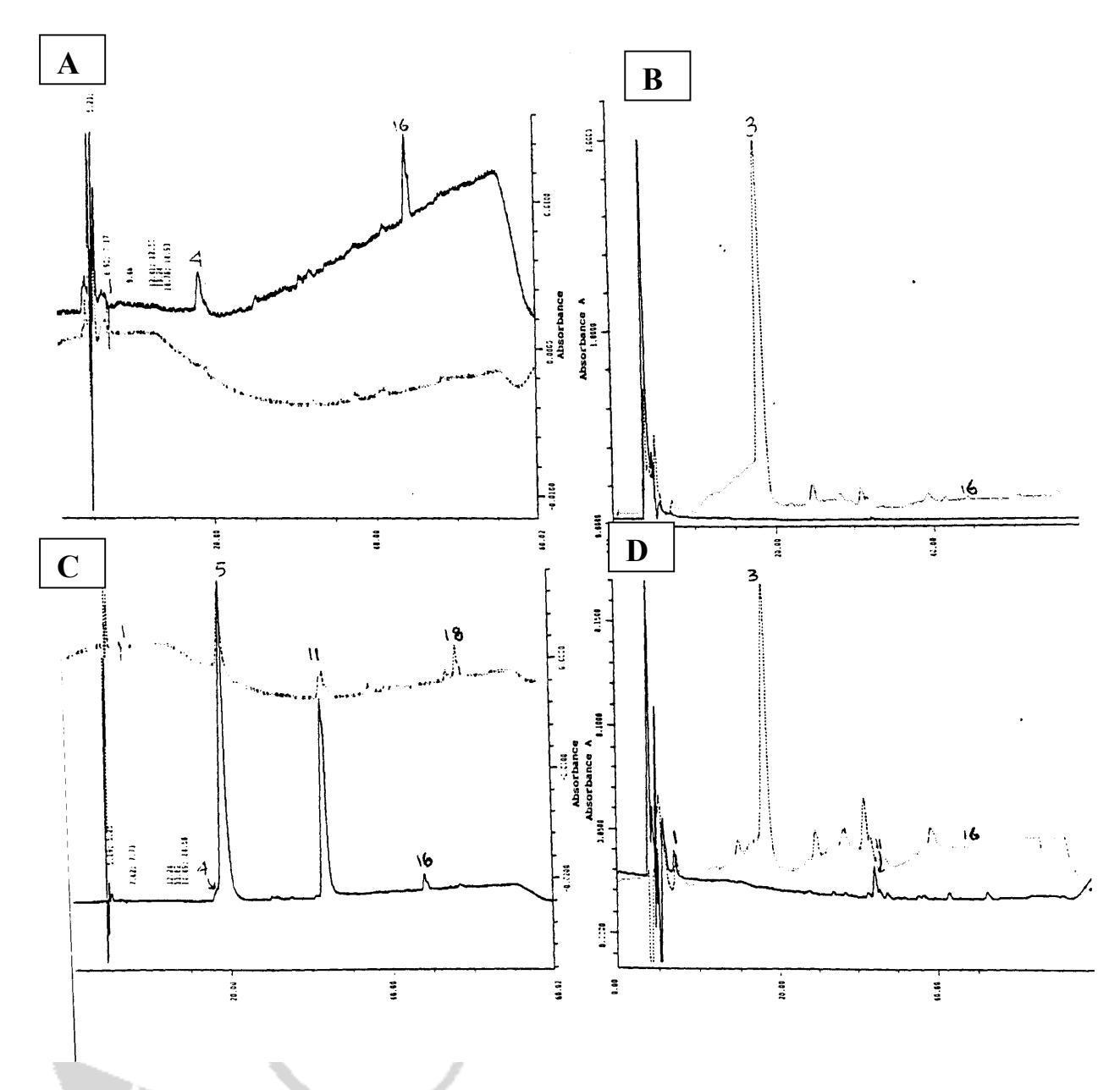


Figure 1c Chromatographie analytique par HPLC des produits d'hydrolyse de l'hespéridinase de I3. Le blanc utilisant (A) une détection ultraviolet à 280 (——) et 320 nm ( ---- ) puis (B) une détection électrochimique à 200 ( ——) et 600 mV (-----). L'échantillon hydrolysé utilisant (C) une détection ultraviolet à 280 ( ——) et 320 nm (-----) puis (D) une détection électrochimique à 200 (——) et 600 mV (-----).

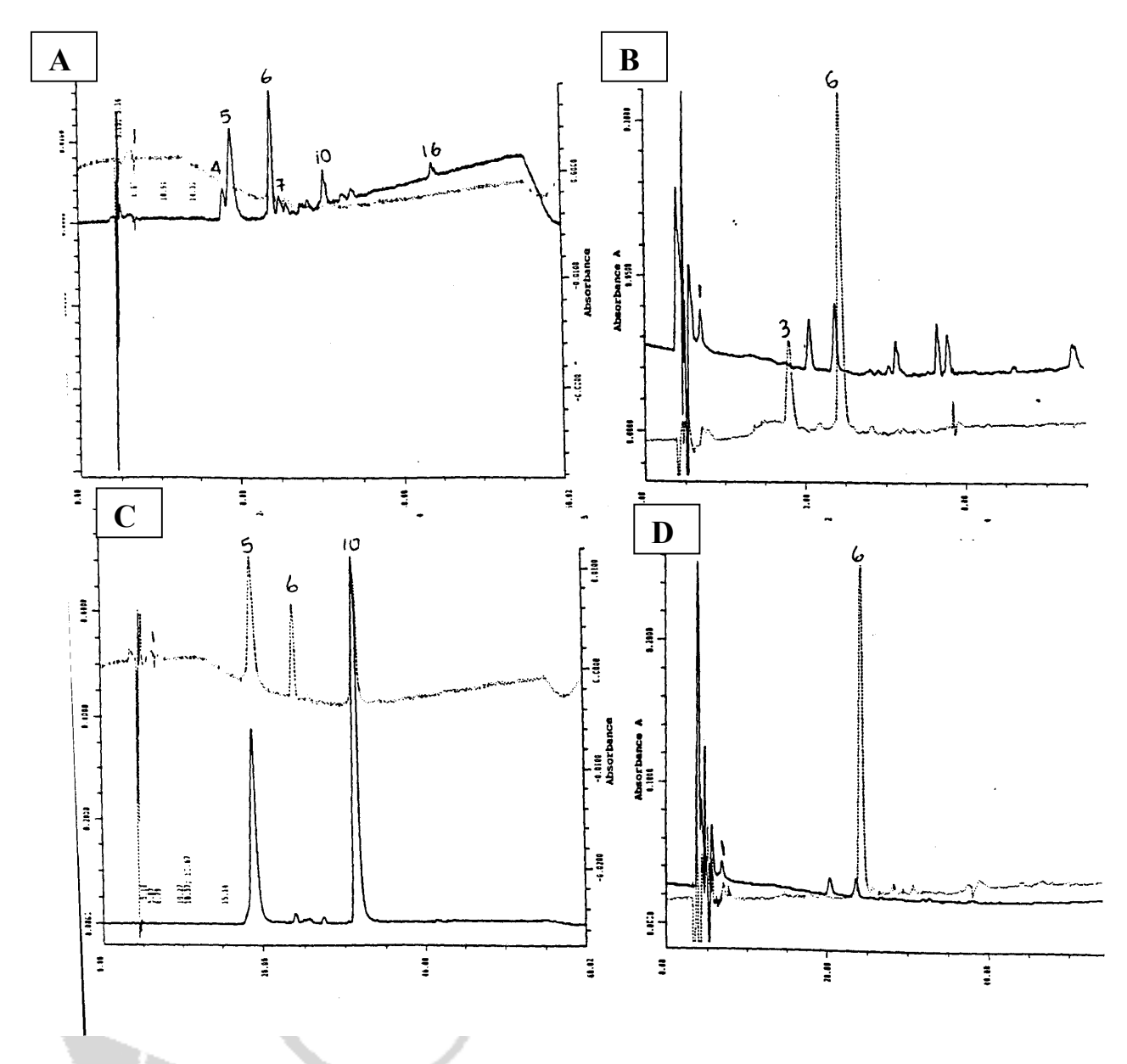


Figure 1d Chromatographie analytique par HPLC des produits d'hydrolyse de l'hespéridinase de I4. Le blanc utilisant (A) une détection ultraviolet à 280 (——) et 320 nm ( ---- ) puis (B) une détection électrochimique à 200 (——) et 600 mV (-----). L'échantillon hydrolysé utilisant (C) une détection ultraviolet à 280 (——) et 320 nm (-----) puis (D) une détection électrochimique à 200 (——) et 600 mV (-----).

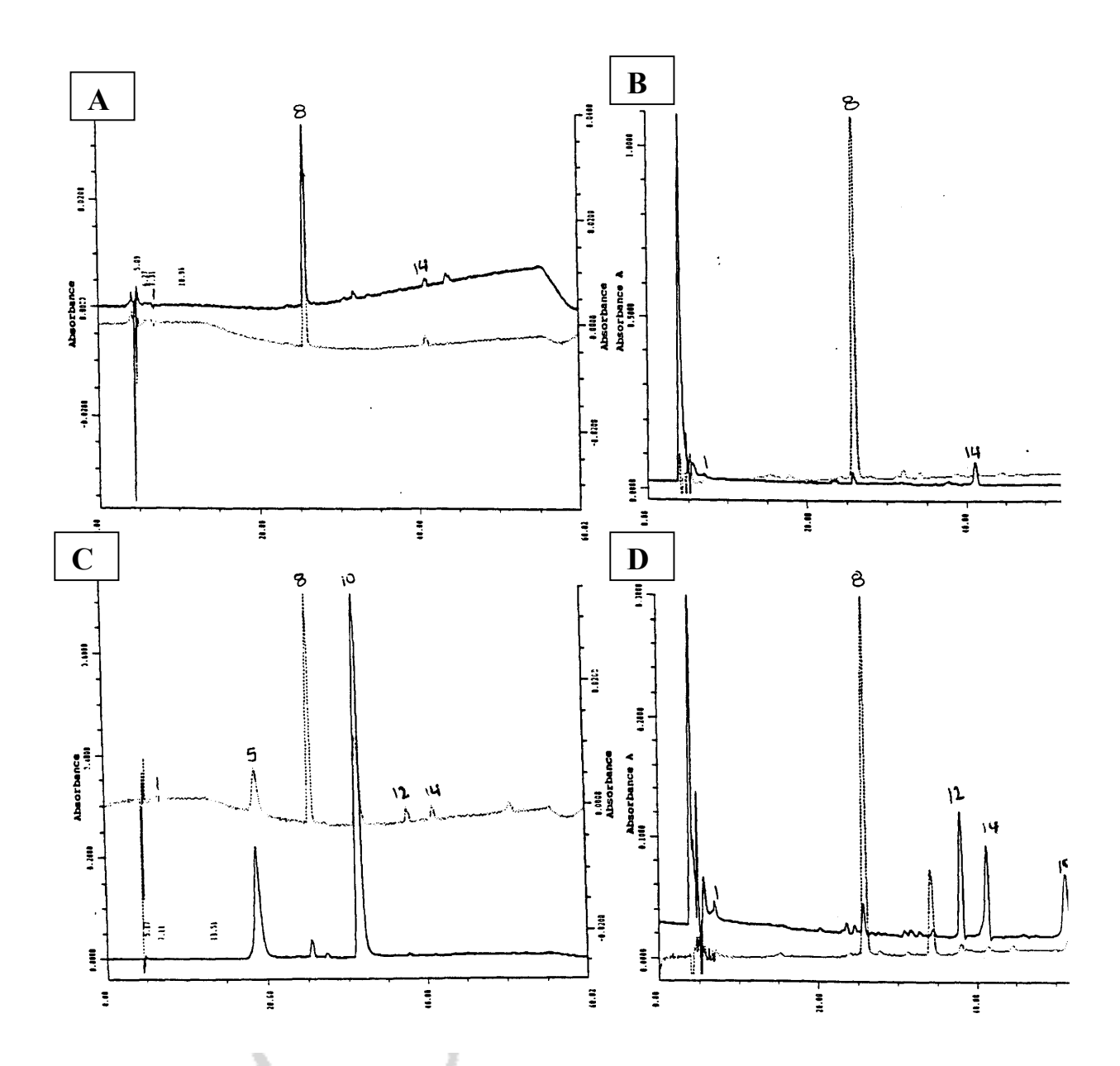
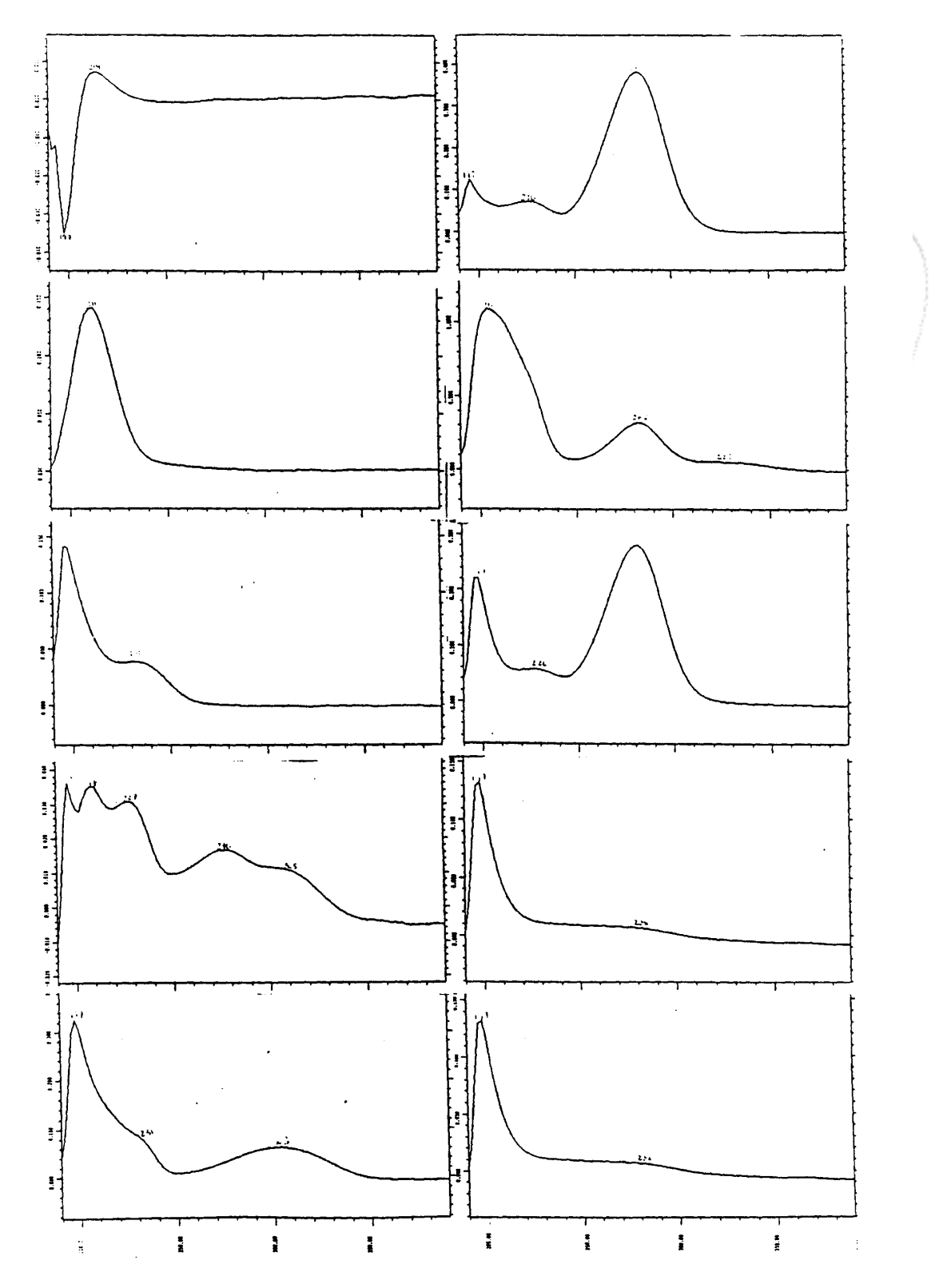


Figure 1e Chromatographie analytique par HPLC des produits d'hydrolyse de l'hespéridinase de I5. Le blanc utilisant (A) une détection ultraviolet à 280 (——) et 320 nm ( ---- ) puis (B) une détection électrochimique à 200 ( ——) et 600 mV (-----). L'échantillon hydrolysé utilisant (C) une détection ultraviolet à 280 ( ——) et 320 nm (-----) puis (D) une détection électrochimique à 200 (——) et 600 mV (-----).



**Figure 2.** Spectres d'absorption des inconnus et de leur produit d'hydrolyse par l'hespéridinase, I1-pic #5 (A), I2-pic #15 (B), I3-pic #11 (C), I4-pic #10 (D) et I5-pic #10 (E).